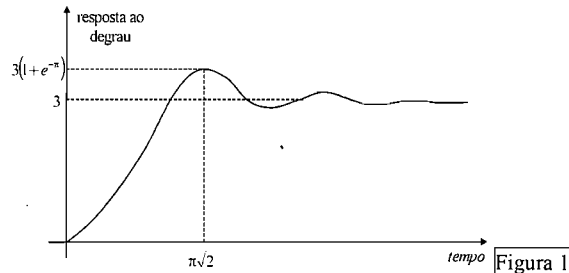


Aluno: Pedro K S Medelli RA: 027086

(1,5) **Questão 1)** Dada a resposta ao degrau unitário a seguir, encontre  $K$ ,  $\xi$  e  $\omega_n$  para que a função de transferência  $G(s) = K \frac{\omega_n^2}{s^2 + 2\xi\omega_n s + \omega_n^2}$  seja capaz de reproduzi-la.

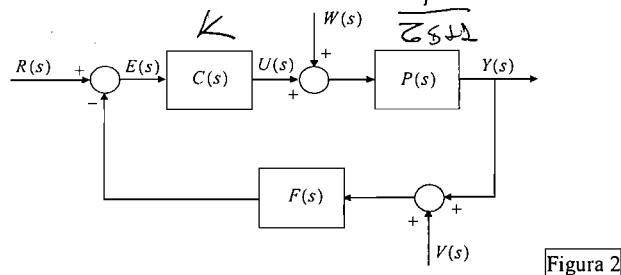


(3,0) **Questão 2)** Tomando o sistema de controle da Figura 2, faça:

(a) Obtenha  $G_R(s)$ ,  $G_W(s)$  e  $G_V(s)$  tal que:  $Y(s) = G_R(s)R(s) + G_W(s)W(s) + G_V(s)V(s)$

(b) Tome  $W(s) = 0$ ,  $V(s) = 0$ ,  $F(s) = 1$ ,  $C(s) = K$  e  $P(s) = \frac{1}{\tau s + 1}$  e calcule a faixa de passagem em malha fechada;

(c) Para as mesmas condições do item (b), obtenha a sensibilidade  $S_t^{G_{MF}}$  da função de transferência em malha fechada  $G_{MF}(s)$  em relação à constante de tempo  $\tau$  e faça um esboço do gráfico  $|S_t^{G_{MF}}| \times \omega$ .



(2,0) **Questão 3)** Tomando o sistema de controle da Figura 2, faça  $W(s) = 0$ ,  $V(s) = 0$ ,  $F(s) = 1$  e  $P(s) = \frac{1}{s(s+2)}$ . Existem as seguintes alternativas para o controlador:

(A1)  $C_1(s) = K$ ; (A2)  $C_2(s) = K(s+a)$ ; (A3)  $C_3(s) = \frac{K}{s+a}$ ; (A4)  $C_4(s) = K \frac{s+a}{s+b}$ .

(a) Com base nos lugares das raízes abaixo, para  $K \in [0, +\infty]$ , quais seriam as alternativas viáveis de controlador (não necessariamente com os valores de  $a$  e  $b$  utilizados) para atender a seguinte região de alocação para os pólos dominantes. Repare que as assintotas se interceptam no eixo real no ponto  $\frac{\text{somatória dos pólos} - \text{somatória dos zeros}}{\text{número de pólos} - \text{número de zeros}}$ .

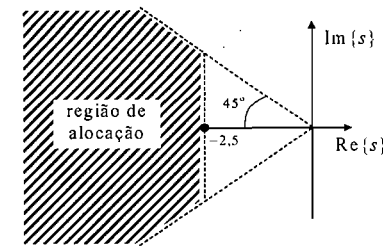
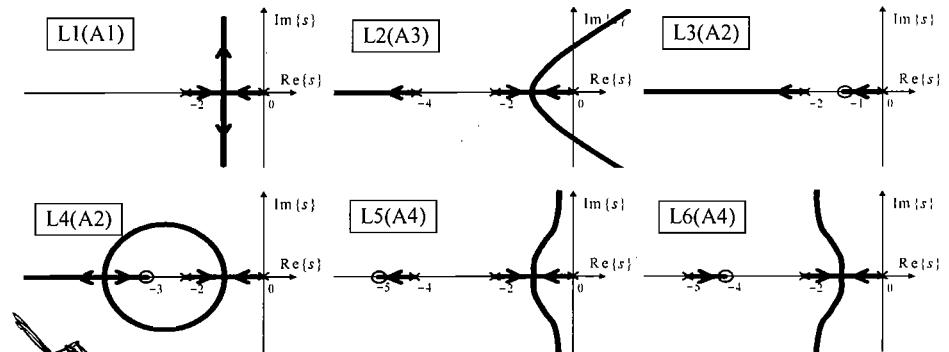
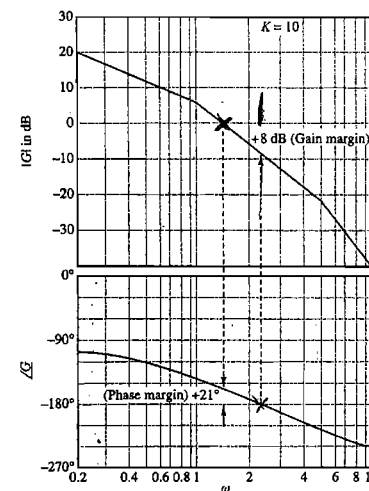


Figura 3



(b) Com base na Figura 3, quais são os critérios de desempenho que estão sendo considerados? Forneça valores quantitativos.

(4,0) **Questão 4)** Tomando o sistema de controle da Figura 2, faça  $W(s) = 0$ ,  $V(s) = 0$ ,  $F(s) = 1$ ,  $C(s) = 10$  e  $P(s) = \frac{1}{s(s+1)(s+5)}$ . O diagrama de Bode e as margens de ganho e fase estão apresentadas na figura a seguir.



(a) Com base no diagrama de Bode e/ou na função de transferência do sistema, esboce o diagrama de Nyquist correspondente e indique nele as margens de ganho e fase.

(b) Com base no diagrama de Nyquist esboçado, obtenha os valores exatos de frequência e módulo no momento em que o diagrama de Nyquist cruza o eixo real, envolvendo ou não o ponto  $-1+j0$ . Trabalhe com  $C(s)P(s) = \frac{10}{s(s+1)(s+5)}$ .

(c) Tome agora  $C(s) = K$  e obtenha o erro de regime para entrada degrau unitário. Trabalhe com a função de transferência de malha fechada.

(d) Indique a faixa de valores de  $K$  que garante estabilidade assintótica.

### (1,0) Questão 5)

(a) Dado que o modelo matemático do pêndulo invertido com carro, após a linearização em torno de  $\theta = 0$ ,  $\dot{\theta} = 0$ , assume a forma:

$$\begin{cases} (M+m)\frac{d^2x}{dt^2} + ml\frac{d^2\theta}{dt^2} = u \\ l\frac{d^2\theta}{dt^2} + \frac{d^2x}{dt^2} = g\theta \end{cases}$$

obtenha  $G(s)$  tal que:

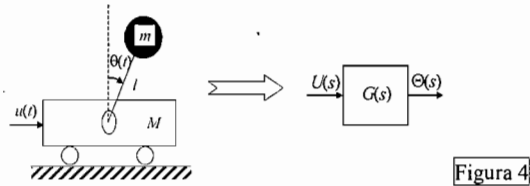


Figura 4

(b) Em situações práticas de controle, frente à disponibilidade de sensores precisos que medem posição angular e velocidade angular do pêndulo, pode ser necessário aumentar o fator de amortecimento do sistema. Partindo da função de transferência da Figura 4, proponha um diagrama de blocos que leve a um aumento no fator de amortecimento do sistema.

(0,5) Questão 6) Na obtenção do modelo matemático do pêndulo normal ou do pêndulo invertido (sejam eles acoplados a um carro em movimento translacional ou a um motor que traciona a haste), há a linearização em torno de um ponto de operação; após a conclusão do equacionamento matemático. Concluídas as etapas de equacionamento matemático e linearização, procede-se ao projeto de controle. Seja a tarefa de controle: (i) partir com o pêndulo na posição da Figura 5(a); (ii) conduzi-lo até a posição da Figura 5(b); (iii) mantê-lo nesta posição. Logo, há um ponto de operação, mas a condição inicial está muito distante dele. Como você faria para projetar o seu sistema de controle nessas condições? Observação: não é para projetar, equacionar ou linearizar, mas para dizer em que se constituiria o projeto de controle.

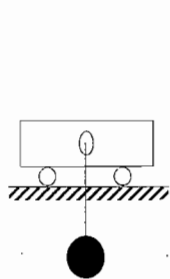


Figura 5(a)

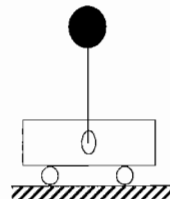
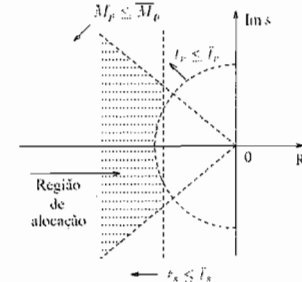
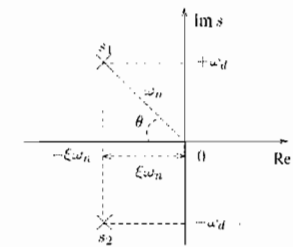


Figura 5(b)

## Formulário e Informações Gerais

- o sistema de 1ª. ordem  $G(s) = \frac{K}{\tau s + 1}$  tem constante de tempo  $\frac{1}{\tau}$ .
- o sistema de 2ª. ordem  $G(s) = K \frac{\omega_n^2}{s^2 + 2\xi\omega_n s + \omega_n^2}$  tem constante de tempo  $\frac{1}{\xi\omega_n}$ .



- $G(s) = K \frac{\omega_n^2}{s^2 + 2\xi\omega_n s + \omega_n^2}$
- $\xi$ : fator de amortecimento
- $\omega_n$ : frequência natural ou não-amortecida
- $\omega_d$ : frequência de oscilação forçada ou amortecida
- $\xi = \cos\theta$  e  $\omega_d = \omega_n \sin\theta = \omega_n \sqrt{1 - \cos^2\theta} = \omega_n \sqrt{1 - \xi^2}$
- $\xi = 0$ : resposta não-amortecida
- $0 < \xi < 1$ : resposta sub-amortecida
- $\xi = 1$ : resposta criticamente amortecida
- $\xi > 1$ : resposta sobre-amortecida
- Críticos de Desempenho:**
  - $t_r \leq \bar{t}_r$  e/ou  $t_s \leq \bar{t}_s$  e/ou  $M_p \leq \bar{M}_p$
  - Tempo de subida (10% a 90%):  $t_r \cong 1,8/\omega_n$
  - Tempo de acomodação (2%):  $t_s \cong 4/\xi\omega_n$
  - Máxima sobre-elevação:  $M_p = \frac{y(t_p) - y(\infty)}{y(\infty)} = e^{-\left(\frac{\pi\xi}{\sqrt{1-\xi^2}}\right)}$
  - Tempo de pico:  $t_p = \frac{\pi}{\omega_n \sqrt{1-\xi^2}} = \frac{\pi}{\omega_d}$

Teorema do Valor Final:  $\lim_{t \rightarrow \infty} y(t) = \lim_{s \rightarrow 0} sY(s)$

Ressonância em respostas sub-amortecidas de sistemas de 2ª. ordem:

$$\omega_r = \omega_n \sqrt{1 - 2\xi^2}; \quad M_r = |G(j\omega_r)| = \frac{1}{2\xi\sqrt{1-\xi^2}}; \quad 0 \leq \xi \leq \frac{\sqrt{2}}{2}$$

Expansão em Série de Taylor até 1ª. ordem: função de 2 variáveis, em torno do ponto  $(x_0, y_0)$

$$f(x, y) \cong f(x_0, y_0) + \left. \frac{\partial f(x, y)}{\partial x} \right|_{(x,y)=(x_0,y_0)} (x - x_0) + \left. \frac{\partial f(x, y)}{\partial y} \right|_{(x,y)=(x_0,y_0)} (y - y_0)$$

Faixa de passagem para filtros passa-baixa:  $\omega \in [0, \omega_{FP}]$  tal que

$$|G(j\omega_{FP})| = \frac{|G(j0)|}{\sqrt{2}} \Rightarrow |G(j\omega_{FP})|_{dB} \cong |G(j0)|_{dB} - 3$$

Função de sensibilidade de  $G(s)$  em relação a um parâmetro  $p$ :  $S_p^G(s) = \frac{\partial G(s)}{\partial p} \frac{p}{G(s)}$

Lugar das Raízes. Considere

$$1 + kG(s) = 1 + k \frac{N(s)}{D(s)} = 0.$$

1. Magnitude e fase:  $|kG(s)| = 1$ ,  $\angle G(s) = 180^\circ \times r$ ,  $r = \pm 1, \pm 3, \dots$

2. Assintotas:  $\theta = \frac{180^\circ \times r}{n - m}$ ,  $r = \pm 1, \pm 3, \dots$

3. Ponto de interseção:

$$\sigma_a = \frac{\sum_i p_i - \sum_j z_j}{n - m}$$

4. Ângulos de partida e chegada: satisfazem

$$\sum_i \phi_{s_i} - \sum_j \phi_{p_j} = 180^\circ \times r, \quad r = \pm 1, \pm 3, \dots$$

5. Pontos de entrada e saída: entre as raízes de

$$D'(s)N(s) - D(s)N'(s) = 0$$